

# Starkniederschlagshöhen und -spenden gemäß KOSTRA-DWD-2020

## Rasterfeld 85139

(Zeile 85, Spalte 139)

### Regenspende und Bemessungsniederschlagswerte in Abhängigkeit von Wiederkehrzeit T und Dauerstufe D

| Dauerstufe D |     | Wiederkehrzeit T |            |      |            |      |            |      |            |       |            |       |            |       |            |       |            |       |            |
|--------------|-----|------------------|------------|------|------------|------|------------|------|------------|-------|------------|-------|------------|-------|------------|-------|------------|-------|------------|
|              |     | 1 a              |            | 2 a  |            | 3 a  |            | 5 a  |            | 10 a  |            | 20 a  |            | 30 a  |            | 50 a  |            | 100 a |            |
| min          | Std | mm               | l / (s ha) | mm   | l / (s ha) | mm   | l / (s ha) | mm   | l / (s ha) | mm    | l / (s ha) | mm    | l / (s ha) | mm    | l / (s ha) | mm    | l / (s ha) | mm    | l / (s ha) |
| 5            |     | 5,5              | 183,3      | 6,6  | 220,0      | 7,3  | 243,3      | 8,3  | 276,7      | 9,6   | 320,0      | 11,0  | 366,7      | 11,9  | 396,7      | 13,1  | 436,7      | 14,8  | 493,3      |
| 10           |     | 7,2              | 120,0      | 8,8  | 146,7      | 9,7  | 161,7      | 10,9 | 181,7      | 12,7  | 211,7      | 14,6  | 243,3      | 15,8  | 263,3      | 17,4  | 290,0      | 19,6  | 326,7      |
| 15           |     | 8,4              | 93,3       | 10,1 | 112,2      | 11,2 | 124,4      | 12,7 | 141,1      | 14,7  | 163,3      | 16,9  | 187,8      | 18,3  | 203,3      | 20,1  | 223,3      | 22,7  | 252,2      |
| 20           |     | 9,2              | 76,7       | 11,2 | 93,3       | 12,4 | 103,3      | 14,0 | 116,7      | 16,2  | 135,0      | 18,6  | 155,0      | 20,1  | 167,5      | 22,1  | 184,2      | 25,0  | 208,3      |
| 30           |     | 10,5             | 58,3       | 12,7 | 70,6       | 14,1 | 78,3       | 15,9 | 88,3       | 18,5  | 102,8      | 21,2  | 117,8      | 23,0  | 127,8      | 25,3  | 140,6      | 28,6  | 158,9      |
| 45           |     | 11,9             | 44,1       | 14,5 | 53,7       | 16,0 | 59,3       | 18,1 | 67,0       | 21,0  | 77,8       | 24,1  | 89,3       | 26,0  | 96,3       | 28,7  | 106,3      | 32,4  | 120,0      |
| 60           | 1   | 13,0             | 36,1       | 15,8 | 43,9       | 17,5 | 48,6       | 19,7 | 54,7       | 22,9  | 63,6       | 26,3  | 73,1       | 28,4  | 78,9       | 31,3  | 86,9       | 35,4  | 98,3       |
| 90           | 1,5 | 14,7             | 27,2       | 17,8 | 33,0       | 19,7 | 36,5       | 22,3 | 41,3       | 25,9  | 48,0       | 29,6  | 54,8       | 32,1  | 59,4       | 35,3  | 65,4       | 39,9  | 73,9       |
| 120          | 2   | 16,0             | 22,2       | 19,4 | 26,9       | 21,5 | 29,9       | 24,2 | 33,6       | 28,2  | 39,2       | 32,2  | 44,7       | 34,9  | 48,5       | 38,4  | 53,3       | 43,4  | 60,3       |
| 180          | 3   | 18,0             | 16,7       | 21,8 | 20,2       | 24,2 | 22,4       | 27,2 | 25,2       | 31,7  | 29,4       | 36,3  | 33,6       | 39,3  | 36,4       | 43,2  | 40,0       | 48,9  | 45,3       |
| 240          | 4   | 19,6             | 13,6       | 23,7 | 16,5       | 26,3 | 18,3       | 29,6 | 20,6       | 34,4  | 23,9       | 39,4  | 27,4       | 42,7  | 29,7       | 47,0  | 32,6       | 53,1  | 36,9       |
| 360          | 6   | 22,0             | 10,2       | 26,6 | 12,3       | 29,5 | 13,7       | 33,3 | 15,4       | 38,7  | 17,9       | 44,3  | 20,5       | 48,0  | 22,2       | 52,8  | 24,4       | 59,7  | 27,6       |
| 540          | 9   | 24,7             | 7,6        | 29,9 | 9,2        | 33,1 | 10,2       | 37,4 | 11,5       | 43,5  | 13,4       | 49,8  | 15,4       | 53,9  | 16,6       | 59,3  | 18,3       | 67,0  | 20,7       |
| 720          | 12  | 26,8             | 6,2        | 32,5 | 7,5        | 36,0 | 8,3        | 40,6 | 9,4        | 47,2  | 10,9       | 54,0  | 12,5       | 58,5  | 13,5       | 64,4  | 14,9       | 72,8  | 16,9       |
| 1080         | 18  | 30,1             | 4,6        | 36,5 | 5,6        | 40,4 | 6,2        | 45,6 | 7,0        | 53,0  | 8,2        | 60,7  | 9,4        | 65,7  | 10,1       | 72,3  | 11,2       | 81,7  | 12,6       |
| 1440         | 24  | 32,7             | 3,8        | 39,6 | 4,6        | 43,9 | 5,1        | 49,5 | 5,7        | 57,5  | 6,7        | 65,8  | 7,6        | 71,3  | 8,3        | 78,4  | 9,1        | 88,7  | 10,3       |
| 2880         | 48  | 39,8             | 2,3        | 48,2 | 2,8        | 53,4 | 3,1        | 60,2 | 3,5        | 70,1  | 4,1        | 80,2  | 4,6        | 86,9  | 5,0        | 95,5  | 5,5        | 108,0 | 6,3        |
| 4320         | 72  | 44,7             | 1,7        | 54,1 | 2,1        | 60,0 | 2,3        | 67,6 | 2,6        | 78,6  | 3,0        | 90,0  | 3,5        | 97,5  | 3,8        | 107,2 | 4,1        | 121,2 | 4,7        |
| 5760         | 96  | 48,5             | 1,4        | 58,7 | 1,7        | 65,1 | 1,9        | 73,4 | 2,1        | 85,3  | 2,5        | 97,7  | 2,8        | 105,8 | 3,1        | 116,4 | 3,4        | 131,6 | 3,8        |
| 7200         | 120 | 51,7             | 1,2        | 62,6 | 1,4        | 69,3 | 1,6        | 78,2 | 1,8        | 90,9  | 2,1        | 104,1 | 2,4        | 112,7 | 2,6        | 124,0 | 2,9        | 140,2 | 3,2        |
| 8640         | 144 | 54,4             | 1,0        | 65,9 | 1,3        | 73,0 | 1,4        | 82,3 | 1,6        | 95,8  | 1,8        | 109,6 | 2,1        | 118,7 | 2,3        | 130,6 | 2,5        | 147,6 | 2,8        |
| 10080        | 168 | 56,9             | 0,9        | 68,9 | 1,1        | 76,3 | 1,3        | 86,0 | 1,4        | 100,1 | 1,7        | 114,5 | 1,9        | 124,0 | 2,1        | 136,4 | 2,3        | 154,2 | 2,5        |

# Starkniederschlagshöhen und -spenden gemäß KOSTRA-DWD-2020

## Rasterfeld 85139

(Zeile 85, Spalte 139)

### Örtliche Unsicherheiten in Abhängigkeit von Wiederkehrzeit T und Dauerstufe D

| Dauerstufe D |     | Wiederkehrzeit T |     |     |     |      |      |      |      |       |
|--------------|-----|------------------|-----|-----|-----|------|------|------|------|-------|
|              |     | 1 a              | 2 a | 3 a | 5 a | 10 a | 20 a | 30 a | 50 a | 100 a |
| min          | Std | ± %              | ± % | ± % | ± % | ± %  | ± %  | ± %  | ± %  | ± %   |
| 5            |     | 11               | 11  | 12  | 12  | 13   | 14   | 14   | 15   | 15    |
| 10           |     | 12               | 14  | 15  | 16  | 17   | 18   | 18   | 19   | 19    |
| 15           |     | 13               | 15  | 16  | 17  | 19   | 20   | 20   | 21   | 21    |
| 20           |     | 14               | 16  | 17  | 18  | 20   | 21   | 21   | 22   | 22    |
| 30           |     | 14               | 16  | 17  | 19  | 20   | 21   | 22   | 22   | 23    |
| 45           |     | 14               | 16  | 17  | 19  | 20   | 21   | 22   | 22   | 23    |
| 60           | 1   | 14               | 16  | 17  | 18  | 20   | 21   | 21   | 22   | 23    |
| 90           | 1,5 | 13               | 15  | 16  | 17  | 19   | 20   | 20   | 21   | 22    |
| 120          | 2   | 12               | 14  | 15  | 16  | 18   | 19   | 20   | 20   | 21    |
| 180          | 3   | 11               | 13  | 14  | 15  | 17   | 18   | 18   | 19   | 20    |
| 240          | 4   | 10               | 12  | 13  | 14  | 16   | 17   | 17   | 18   | 19    |
| 360          | 6   | 10               | 11  | 12  | 13  | 15   | 16   | 16   | 17   | 17    |
| 540          | 9   | 9                | 11  | 11  | 12  | 13   | 14   | 15   | 16   | 16    |
| 720          | 12  | 9                | 10  | 11  | 12  | 13   | 14   | 14   | 15   | 15    |
| 1080         | 18  | 10               | 10  | 11  | 11  | 12   | 13   | 13   | 14   | 15    |
| 1440         | 24  | 10               | 10  | 11  | 11  | 12   | 13   | 13   | 13   | 14    |
| 2880         | 48  | 13               | 12  | 12  | 12  | 12   | 13   | 13   | 13   | 14    |
| 4320         | 72  | 15               | 13  | 13  | 13  | 13   | 13   | 13   | 13   | 14    |
| 5760         | 96  | 16               | 15  | 14  | 14  | 14   | 14   | 14   | 14   | 14    |
| 7200         | 120 | 17               | 16  | 15  | 15  | 14   | 14   | 14   | 14   | 15    |
| 8640         | 144 | 18               | 16  | 16  | 15  | 15   | 15   | 15   | 15   | 15    |
| 10080        | 168 | 19               | 17  | 17  | 16  | 16   | 16   | 15   | 15   | 15    |

### Parameter für abweichende T und D

#### Lokationsparameter $\xi$ (Xi)

13,26940018

#### Skalenparameter $\alpha$ (Alpha)

3,8843669

#### Formparameter $\kappa$ (Kappa)

-0,1

#### 1. Koutsoyiannis-Parameter $\theta$ (Theta)

0,02398769

#### 2. Koutsoyiannis-Parameter $\eta$ (Eta)

0,71578655

Parameter für dauerstufenübergreifende Extremwertschätzung nach KOUTSOYIANNIS et al. 1998.

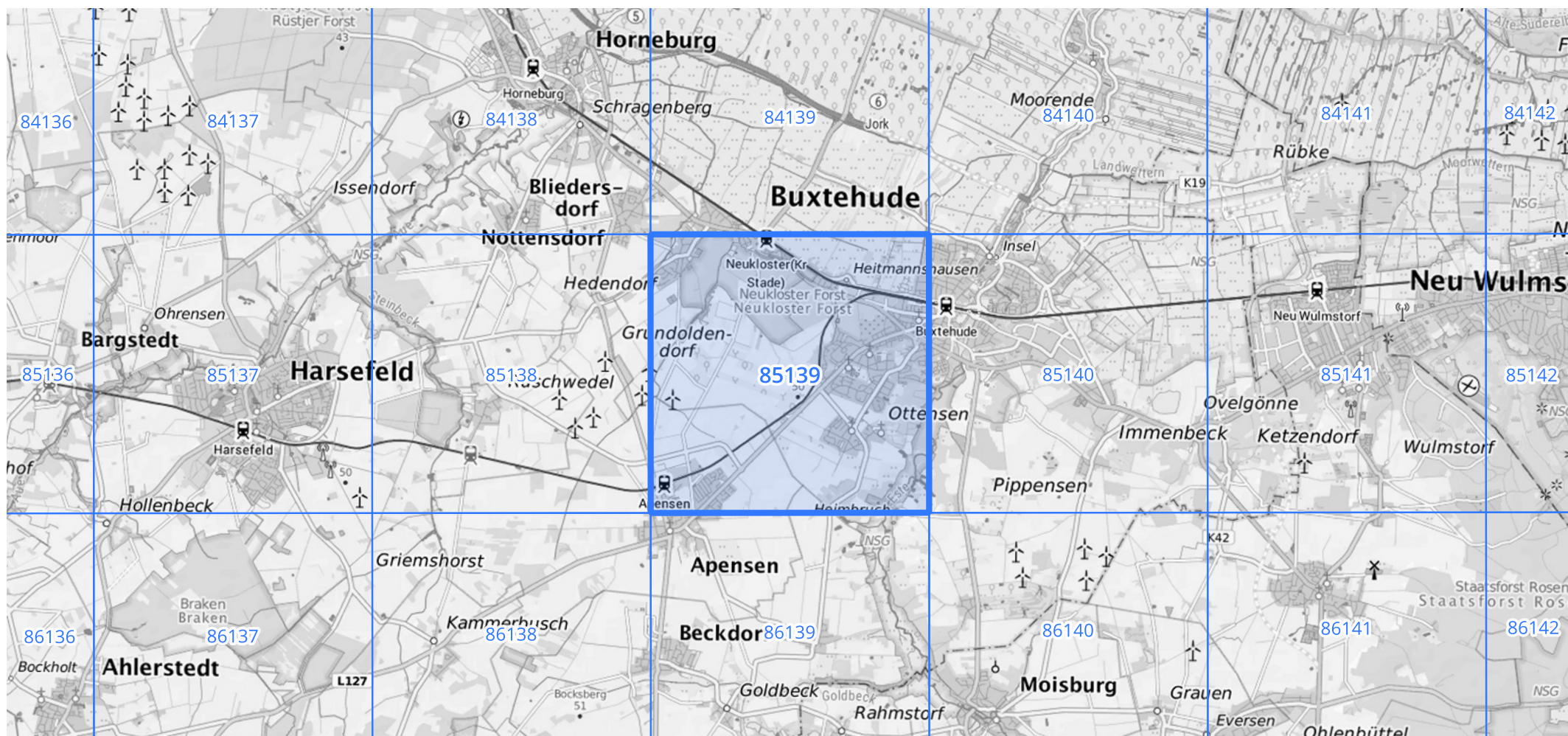
Siehe auch Anwendungshilfe zu KOSTRA-DWD-2020 des Deutschen Wetterdienstes.

## Starkniederschlagshöhen und -spenden gemäß KOSTRA-DWD-2020

## Rasterfeld 85139

(Zeile 85, Spalte 139)

Übersichtskarte des Rasterfeldes 85139, M 1 : 100 000



Quelle Rasterdaten: KOSTRA-DWD-2020 des Deutschen Wetterdienstes, Stand 12/2022.

Seite 3 von 3

Kartendarstellung: © Bundesamt für Kartographie und Geodäsie (2023), Datenquellen: [https://sgx.geodatenzentrum.de/web\\_public/gdz/datenquellen/Datenquellen\\_TopPlusOpen.html](https://sgx.geodatenzentrum.de/web_public/gdz/datenquellen/Datenquellen_TopPlusOpen.html)

Für die Richtigkeit und Aktualität der Angaben wird keine Gewähr übernommen. Erstellt 01/2023.